

УДК 535.375

© 1992

**ОПТИЧЕСКИЕ КОЛЕБАНИЯ  
В КРИСТАЛЛАХ  $\text{Bi}_{1-x}(\text{Sr}_{1-y}\text{Ca}_y)_x\text{O}_{1.5-x/2}$**

*A. A. Буш, Ю. Э. Китаев, М. А. Куликов, М. Ф. Лимонов,  
Ю. Ф. Марков, А. А. Новиков, В. П. Сиротинкин,  
Ю. В. Титов, Р. А. Эварестов*

Синтезированы кристаллы  $\text{Bi}_{1-x}(\text{Sr}_{1-y}\text{Ca}_y)_x\text{O}_{1.5-x/2}$ , химический состав которых контролировался методом рентгеноспектрального микролиза. Установлено, что эти кристаллы относятся к ромбоэдрической сингонии (пространственная группа  $R\bar{3}m$ ). Методом зонных представлений пространственных групп проведен полный теоретико-групповой анализ оптических колебаний в особых точках зоны Бриллюэна кристаллической решетки  $\text{Bi}_{1-x}(\text{Sr}_{1-y}\text{Ca}_y)_x\text{O}_{1.5-x/2}$ . Исследованы и интерпретированы спектры комбинационного рассеяния света этих кристаллов.

Для выяснения механизма возникновения высокотемпературной сверхпроводимости (ВТСП) в висмутсодержащих фазах 2201, 2212, 4413, 2223 системы  $\text{Bi}_2\text{O}_3-\text{SrO}-\text{CaO}-\text{CuO}_{1+\delta}$  [1-3] в настоящее время проводятся всесторонние исследования их структуры и свойств. В этом плане полезную дополнительную информацию можно получить, исследуя родственные в кристаллохимическом отношении к ВТСП-фазам различные несверхпроводящие системы. К таким соединениям относятся, в частности, фазы переменного состава  $\text{Bi}_{1-x}\text{M}_x\text{O}_{1.5-x/2}$ ,  $\text{M}=\text{Sr}$  с  $0.10 < x < 0.27$  и  $\text{M}=\text{Ca}$  с  $0.12 < x < 0.27$ , образующиеся в системах  $\text{Bi}_2\text{O}_3-\text{SrO}$  и  $\text{Bi}_2\text{O}_3-\text{CaO}$  [4-10]. Эти фазы имеют слоистые структуры, содержащие  $\text{BiO}$  и  $(\text{Bi}, \text{M})\text{O}$  слои, близкие по составу и строению к слоям, имеющимся в структурах висмутовых ВТСП-соединений.

### 1. Синтез и рентгеноструктурные исследования

Выращивание кристаллов проводилось путем охлаждения расплавов смесей  $(1-x)\text{Bi}_2\text{O}_3 \cdot x[(1-y)\text{SrO} \cdot y\text{CaO}]$  (табл. 1) от 950 до 550 °C со скоростью 2 град/ч в алюндовых тиглях. Были получены прозрачные желтого цвета монокристаллы, имеющие слюдоподобный габитус с весьма выраженной спайностью вдоль плоскостей (001) (в гексагональной установке). Размеры монокристаллов достигали  $0.1 \times 6 \times 6$  мм.

Принадлежность полученных кристаллов к фазе  $\text{Bi}_{1-x}\text{M}_x\text{O}_{1.5-x/2}$  ( $\beta$ -фазе по [4, 5]) подтверждена рентгенографическими исследованиями, выполненными на дифрактометре ДРОН-3 ( $\lambda\text{CuK}_\alpha$ ) и рентгеновском гониометре РГНС-2 методами порошка, качания и Вейссенберга. Найдено, что в соответствии с [4-10] кристаллы относятся к ромбоэдрической сингонии с параметрами элементарной ячейки в гексагональных осях  $a \approx 3.9$  Å,  $c \approx 28.5$  Å (табл. 1). Наблюдаемые систематические погасания рентгеновских рефлексов  $(hkl)$  с  $-h+k+l=2n+1$  ( $n$  — целые числа) свидетельствуют о том, что структура кристаллов описывается одной из следующих трех пространственных групп:  $R\bar{3}2$ ,  $R\bar{3}m$  или  $R\bar{3}m$ . Отри-

дательный результат, полученный при тестировании кристаллов на пьезо- и пироэлектрический эффекты, связан, очевидно, с их центросимметричностью и позволяет выбрать для них пространственную группу  $R\bar{3}m$ .

Химический состав кристаллов определен методами рентгеноспектрального микроанализа (PCMA) на спектрометре САМЕВАХ-301 (табл. 1). При исследовании методами PCMA кристаллов № 1 (табл. 1) обнаружены вариации их химического состава по объему образцов в пределах  $\text{Bi}_{0.73}\text{Sr}_{0.27}\text{O}_\delta$ — $\text{Bi}_{0.68}\text{Sr}_{0.32}\text{O}_\delta$ , обусловленные наличием широкой области гомогенности данной фазы. Содержание примесных атомов Al в этих кристаллах, связанное с использованием алундовых тиглей, не превышало 0.05 атомных %.

Таблица 1

Данные о химических составах шихты и выращенных кристаллов, размерах их элементарных ячеек

№ п/п	Состав расплава	Результаты PCMA	Пр. гр.	Параметры элементарной ячейки, Å
1	$\text{Bi}_2\text{O}_3 \cdot \text{SrO}$	$\text{Bi}_{0.70}\text{Sr}_{0.30}\text{O}_\delta$	$R\bar{3}m$	$a=3.970$ (5) $c=28.75$ (5)
2	$2\text{Bi}_2\text{O}_3 \cdot \text{SrO}$	$\text{Bi}_{0.81}\text{Sr}_{0.19}\text{O}_\delta$	$R\bar{3}m$	$a=3.966$ (5) $c=28.30$ (5)
3	$2\text{Bi}_2\text{O}_3 \cdot 0.5\text{SrO}$ $0.5\text{CaO}$	$\text{Bi}_{0.78}(\text{Sr}_{0.53}\text{Ca}_{0.47})_{0.22}\text{O}_\delta$	$R\bar{3}m$	$a=3.933$ (5) $c=28.15$ (5)
4	$2\text{Bi}_2\text{O}_3 \cdot \text{CaO}$	$\text{Bi}_{0.85}\text{Ca}_{0.15}\text{O}_\delta$	$R\bar{3}m$	$a=3.925$ (5) $c=27.75$ (2)
5	$\text{Bi}_2\text{O}_3 \cdot \text{SrO}$	$\text{Bi}_{3.08}\text{Sr}_{4.83}\text{Al}_6\text{O}_\delta$	$C2/m$ или $C2$ , или $Cm$	$a=30.80$ (5) $b=17.72$ (5) $c=16.20$ (5) $\beta=110.0$ (5) <sup>0</sup>

При рентгенографических исследованиях и PCMA были выделены также моноклинные Al-содержащие моноокристаллы состава  $\text{Bi}_{3+x}\text{Sr}_{5-x}\text{Al}_6\text{O}_\delta$  (табл. 1). Эти кристаллы имеют желтую окраску, прозрачны, обладают близким к изометрическому габитусом, не проявляют выраженной спайности, их размеры достигают  $0.3 \times 0.5 \times 0.5$  мм. Образование этих кристаллов связано, очевидно, с взаимодействием расплава с алундовыми тиглями.

## 2. Теоретико-групповой анализ симметрии нормальных колебаний

Согласно данным рентгеноструктурного анализа, выполненного в настоящей работе, а также результатам работы [6], рассматриваемые кристаллы  $\beta$ -фазы имеют симметрию, описываемую пространственной группой  $D_{3d}^5$  ( $R\bar{3}m$ ) (ромбоэдрическая сингония).

В соответствии с данными [6] для соединения  $\text{Bi}_{1-x}\text{M}_x\text{O}_{1.5-x/2}$  ( $\text{M}=\text{Sr}$ ,  $x=0.235$ ) размещение атомов в примитивной ячейке по позициям симметрии (позициям Уайкофа) имеет следующий вид: в позиции  $1a$  с координатами (000) в гексагональной установке находятся атомы Sr и Bi1 (0.705 Sr и 0.295 Bi), а в позициях  $2c(00z)(00z)$  — атомы Bi2, 02 и 03. Небольшое число (0.148) атомов 01 размещается в междоузлиях в общей позиции симметрии. Общее число формульных единиц в примитивной ячейке равно 3. Кристаллическая структура изображена на рис. 1.

Как было установлено в настоящей работе, все кристаллы  $\beta$ -фазы системы  $\text{Bi}_{1-x}\text{M}_x\text{O}_{1.5-x/2}$  имеют симметрию, описывающуюся одной и той же пространствен-

ной группой  $D_{3d}^5$  ( $R\bar{3}m$ ). Предположим, что при изменении  $x$  и  $y$  изменяются только относительные числа заполнения соответствующих позиций Уайкофа без изменения кристаллической структуры соединений. Следовательно, результаты анализа, проведенного для  $\text{Bi}_{1-x}\text{Sr}_x\text{O}_{1.5-x/2}$  ( $x=0.235$ ), можно распространить и на другие соединения этого ряда.

Для нахождения симметрии фононов используем метод зонных представлений (ЗП) пространственных групп [11, 12], который, особенно для кристаллов с большим числом атомов в примитивной ячейке, оказывается значительно более эффективным, чем традиционный метод фактор-группы [13].

Результаты теоретико-группового анализа симметрии нормальных колебаний соединения  $\text{Bi}_{1-x}\text{Sr}_x\text{O}_{1.5-x/2}$  ( $x=0.235$ ) представлены в табл. 2. В стб. 1 указаны атомы, находящиеся в соответствующих позициях Уайкофа, приведенных в стб. 2 вместе с координатами этих позиций в гексагональной установке и соответствующими локальными группами симметрии. (Обозначения даны в соответствии с [14]). В стб. 3 приведены те неприводимые представления

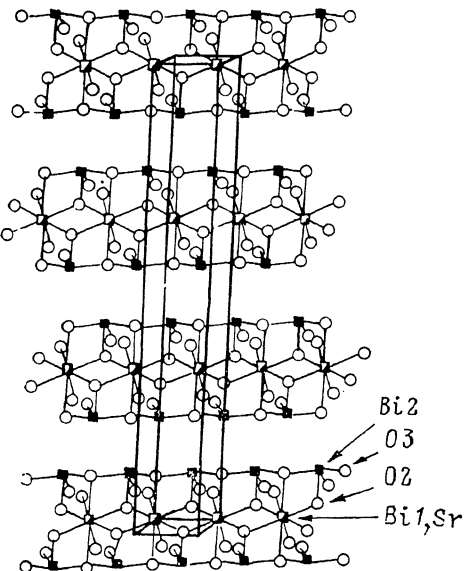


Рис. 1. Кристаллическая структура соединения  $\text{Bi}_{1-x}\text{Sr}_x\text{O}_{1.5-x/2}$  ( $x=0.235$ ) согласно [6].

(НП) локальной группы, по которым преобразуются компоненты векторов локальных смещений атомов ( $x, y, z$ ). (Обозначения НП локальных групп совпадают с приведенными в [15]). Стб. 4—7 содержат индексы ЗП в  $k$ -базисе, полученных индуцированием с соответствующими НП локальной группы. Индексы ЗП

Таблица 2  
Симметрия фононов в кристаллах  $\text{Bi}_{1-x}\text{Sr}_x\text{O}_{1.5-x/2}$  ( $x=0.235$ )\*

$D_{3d}^5$ ( $R\bar{3}m$ )			$\frac{\Gamma}{D_{3d}}$ (000)	$\left(\frac{T}{2}, \frac{1}{2}, \frac{1}{2}\right)$ $D_{3d}$	$\left(\frac{F}{2}, \frac{1}{2}, 0\right)$ $C_{2h}$	$\left(\frac{L}{00}, \frac{1}{2}\right)$ $C_{2h}$
1	2	3	4	5	6	7
Bi1/Sr	$1a$ (000) $D_{3d}$	$a_{2u}(z)$ $e_u(x, y)$	$2^-$ $3^-$	$2^-$ $3^-$	$2^-$ $1^-2^-$	$2^-$ $1^-2^-$
Bi2	$2c$					
O2	$(00z)$	$a_1(z)$	$1^{+2^-}$	$1^{+2^-}$	$1^{+2^-}$	$1^{+2^-}$
O3	$C_{3v}$	$e(x, y)$	$3^{+3^-}$	$3^{+3^-}$	$1^{\mp 2^{\mp}}$	$1^{\mp 2^{\mp}}$

\* Атомы кислорода O1 в таблице не указаны. Они дают вклады во все нормальные колебания.

в  $k$ -базисе представляют собой наборы индексов полных НП пространственной группы, по которым может быть разложено соответствующее ЗП и которые определяют симметрию нормальных колебаний кристалла. Нумерация полных

НП совпадает с нумерацией однозначно связанных с ними НП групп волнового вектора. Отметим, что ЗП может быть полностью охарактеризовано заданием наборов НП групп волнового вектора только в точках высокой симметрии зоны Бриллюэна (ЗБ). В остальных точках ЗБ это ЗП может быть получено из условий совместности. (Символы точек высокой симметрии ЗБ, их координаты в единицах векторов обратной решетки и соответствующие точечные группы волнового вектора приведены в названиях стб. 4–7; НП групп волнового вектора даны в обозначениях [16]).

Табл. 2 позволяет определить полное колебательное представление в точках высокой симметрии ЗБ и, что особенно важно для интерпретации колебательных спектров, установить, смещения каких атомов дают вклады в нормальные колебания определенной симметрии.

Так, например, полное колебательное представление в центре ЗБ (точка Г) имеет вид (в скобках указаны атомы, дающие вклады в данное нормальное колебание, где верхние индексы у атомов обозначают компоненты соответствующих локальных смещений, а нижние — позиции Уайкофа, в которой находится данный атом)

$$\Gamma_{\text{out}} + \Gamma_{\text{ак}} = 3\Gamma_1^+(Bi2_c^z; O2_c^z; O3_c^z) + 3\Gamma_3^+(Bi2_c^{xy}; O2_c^{xy}; O3_c^{xy}) + \\ + 4\Gamma_2^-(Bi1/Sr_a^z; Bi2_c^z; O2_c^z; O3_c^z) + 4\Gamma_3^-(Bi1/Sr_a^{xy}; Bi2_c^{xy}; O2_c^{xy}; O3_c^{xy}),$$

где

$$\Gamma_{\text{ак}} = \Gamma_2^-(A_{2u}) + \Gamma_3^-(E_u).$$

Анализ правил отбора показывает, что в спектрах комбинационного рассеяния света (СКР) первого порядка активны фононы с симметрией  $\Gamma_1^+(A_{1g})$  в геометриях рассеяния (xx), (yy) и (zz) (в скобках указаны поляризации падающего и рассеянного света) и  $\Gamma_3^-(E_g)$  в геометриях рассеяния (xx), (yy) и (yz) либо (xy) и (xz). Таким образом, в СКР первого порядка правилами отбора разрешены

$$\Gamma = 3A_{1g}(xx, yy, zz) + 3E_g(xx, yy, yz; xy, xz).$$

В исследуемых нами соединениях в позиции 1a, по-видимому, могут находиться атомы трех химических элементов Sr, Ca и Bi (изменяются только вероятности заполнения). Заполнение позиций 2c при изменении химического состава не меняется. Поэтому результаты проведенного теоретико-группового анализа справедливы для всех кристаллов  $\beta$ -фазы системы  $Bi_{1-x}(Sr_{1-y}Ca_y)_xO_{1.5-x/2}$ .

### 3. Исследование и интерпретация спектров комбинационного рассеяния света

Длинноволновые оптические колебания в кристаллах  $Bi_{1-x}M_xO_{1.5-x/2}$  экспериментально исследовались методом комбинационного рассеяния света. СКР изучались на тройном раман-спектрометре Z-24 (DILOR) в поляризованном свете, в стоксовой и антистоксовой областях спектра при комнатной температуре. СКР возбуждались с помощью Ar-лазера Spectra-Physics,  $\lambda=5145 \text{ \AA}$ ,  $P < 20 \text{ мВт}$  на образце либо He-Ne-лазера,  $\lambda=6328 \text{ \AA}$ ,  $P \simeq 5 \text{ мВт}$ . Спектральная щель прибора составляла  $4 \text{ см}^{-1}$ . Низкий уровень рассеянного света в спектрометре позволил исследовать СКР начиная с  $\approx 10 \text{ см}^{-1}$ .

СКР кристаллов  $Bi_{0.70}Sr_{0.30}O_\delta$  (№ 1 в табл. 1),  $Bi_{0.85}Ca_{0.15}O_\delta$  (№ 4) и  $Bi_{0.78}(Sr_{0.53}Ca_{0.47})_{0.22}O_\delta$  (№ 3) приведены на рис. 2, 3, а частоты пяти наиболее интенсивных линий — в табл. 3. Интерпретацию этих спектров проведем, основываясь на результатах выполненного теоретико-группового анализа, учитывая при этом существенную разницу в атомных весах элементов, образующих эти соединения: Bi (209), Sr (88), Ca (40) и O (16).

В низкочастотной области СКР наблюдаются три линии (рис. 2). Самая низкочастотная линия проявляется преимущественно в поляризациях  $xy$  и  $xz$ , ее частота практически не меняется при замещении Sr  $\leftrightarrow$  Ca и составляет 43—44 см $^{-1}$ .

Частота второй, наиболее интенсивной в спектрах линии также неизменна в СКР всех исследованных кристаллов (82—83 см $^{-1}$ ); эта линия наблюдается преимущественно в поляризациях  $xx$ ,  $yy$ , а наиболее четко — в  $zz$  (рис. 3). Учитывая независимость

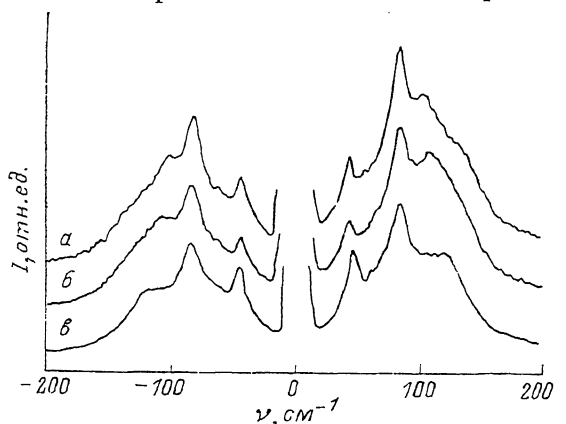


Рис. 2. Низкочастотные СКР кристаллов  $Bi_{0.70}Sr_{0.30}O_{\delta}$  (a),  $Bi_{0.78}(Sr_{0.53} \cdot Ca_{0.47})_{0.22}O_{\delta}$  (b) и  $Bi_{0.85}Ca_{0.15}O_{\delta}$  (c) в стоковой и антистоковой областях спектра в поляризации  $xy$ .

частот двух обсуждаемых линий от соотношения концентрации Sr и Ca, их поляризационные свойства, а также тот факт, что, согласно правилам отбора (табл. 2), в СКР разрешены именно два различных колебания, обусловленных самыми тяжелыми атомами структуры — атомами висмута (расположенными в позиции Bi2), данные линии можно однозначно связать с колебаниями атомов Bi2 симметрии  $E_g$  и  $A_{1g}$  соответственно.

К двум описанным линиям в спектрах примыкает полоса в области 100—140 см $^{-1}$ , частота которой уже зависит от парциального содержания Sr и Ca, возрастаая с увеличением концентрации более легких атомов Ca (рис. 2, табл. 3). Следовательно, она должна определяться колебаниями этих атомов. Однако, согласно результатам симметрийного анализа, колебания Sr и Ca запрещены в СКР 1-го порядка. Поэтому эта линия может быть обусловлена нарушением правил отбора по импульсу из-за неупорядоченного рас-

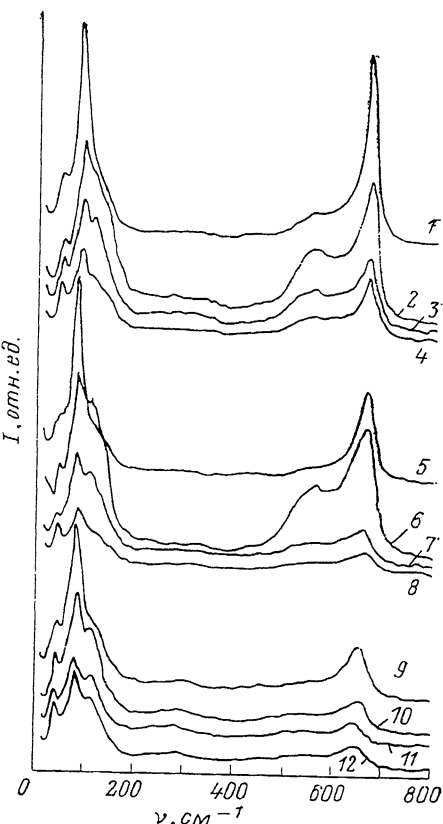


Рис. 3. СКР кристаллов  $Bi_{0.70}Sr_{0.30}O_{\delta}$  в поляризациях  $zz$  (1),  $xx$  (2),  $xy$  (3),  $xz$  (4), кристаллов  $Bi_{0.78}(Sr_{0.53} \cdot Ca_{0.47})_{0.22}O_{\delta}$  в поляризациях  $zz$  (5),  $xx$  (6),  $xy$  (7),  $xz$  (8), кристаллов  $Bi_{0.85}Ca_{0.15}O_{\delta}$  в поляризациях  $zz$  (9),  $xx$  (10),  $xy$  (11),  $xz$  (12).

пределения атомов Sr и Ca в висмутовой подрешетке. Не исключено также, что, вопреки выводам работы [6], часть атомов Sr и Ca замещает атомы Bi, находящиеся в позиции Bi2, а не только Bi1. В этом случае колебания Sr и Ca становятся разрешенными в СКР 1-го порядка.

В высокочастотной области СКР наблюдаются две интенсивные линии в диапазонах  $\approx 550$  и  $660 \text{ см}^{-1}$ , частоты которых меняются незначительно при переходе от одного соединения к другому (табл. 3). Линия  $550 \text{ см}^{-1}$  практически не наблюдается в поляризации  $zz$ , а линия  $660 \text{ см}^{-1}$ , наоборот, имеет наибольшую интенсивность именно в  $zz$ . Эти линии обусловлены колебаниями легких атомов кислорода и имеют симметрию соответственно  $E_g$  и  $A_{1g}$ . Заметим, что интенсивная линия в области  $620$ — $650 \text{ см}^{-1}$  наблюдается в СКР всех Bi-содержащих ВТСП-соединений и связывается с полносимметричными колебаниями атомов кислорода, расположенных в плоскостях  $\text{BiO}$  [17, 18]. Аналогом такой плоскости в структуре  $\text{Bi}_{1-x}\text{M}_x\text{O}_{1.5-x/2}$  является плоскость  $\text{Bi}_2\text{O}_3$ , поэтому линия  $650 \text{ см}^{-1}$  определяется  $A_{1g}$ -колебаниями атомов  $\text{O}_3$ . Линию  $550 \text{ см}^{-1}$  можно связать с колебаниями кислорода в тех плоскостях, где атомы Bi частично замещены Sr или Ca, т. е. с  $E_g$ -колебаниями атомов  $\text{O}_2$ .

Таблица 3

Частоты и интерпретация линий  
в СКР кристаллов  $\text{Bi}_{1-x}\text{M}_x\text{O}_{1.5-x/2}$

Соединение	Частота, $\text{см}^{-1}$ ; интерпретация				
	$E_g$ (Bi2)	$A_{1g}$ (Bi2)	Sr/Ca	$E_g$ ( $\text{O}_2$ )	$A_{1g}$ ( $\text{O}_3$ )
$\text{Bi}_{0.70}\text{Sr}_{0.30}\text{O}_3$	43	82	$\approx 103$	$\approx 555$	663
$\text{Bi}_{0.78}(\text{Sr}_{0.53}\text{Ca}_{0.47})_{0.22}\text{O}_3$	43	83	$\approx 111$	$\approx 550$	664
$\text{Bi}_{0.85}\text{Ca}_{0.15}\text{O}_3$	44	83	$\approx 120$	$\approx 550$	651

Отметим, что в среднечастотной области спектра ( $200$ — $500 \text{ см}^{-1}$ ) интенсивные линии отсутствуют в СКР всех исследованных соединений. Слабые полосы наблюдаются в СКР  $\text{Bi}_{0.85}\text{Ca}_{0.15}\text{O}_3$  в области частот  $\approx 280$  и  $510 \text{ см}^{-1}$ . Они могут быть соотнесены с двумя последними неприписанными колебаниями, разрешенными правилами отбора в СКР 1-го порядка, т. е.  $A_{1g}$ -колебаниями атомов  $\text{O}_2$  и  $E_g$ -колебаниями атомов  $\text{O}_3$ .

Таким образом, в настоящей работе синтезированы и исследованы кристаллы системы  $\text{Bi}_{1-x}\text{M}_x\text{O}_{1.5-x/2}$ ; выполнен полный теоретико-групповой анализ оптических колебаний их кристаллической решетки, на основании которого интерпретированы спектры комбинационного рассеяния света. В результате в спектрах удалось однозначно выделить линии, соответствующие колебаниям различной симметрии атомов Bi и кислорода, расположенного в  $\text{BiO}$ -либо в  $(\text{Bi}, \text{Sr}, \text{Ca})\text{O}$ -плоскостях.

Авторы благодарят А. А. Каплянского и А. Г. Панфилова за обсуждение результатов работы.

#### Список литературы

- [1] Sleight A. W. // Science. 1989. V. 242. N 4885. P. 1519—1527.
- [2] Reveau D., Michel C., Hervieu M. // J. Sol. State Chem. 1989. V. 85. N 2. P. 181—201; V. 88. N 1. P. 140—162.
- [3] Буш А. А. // СФХТ. 1990. Т. 3. № 9. С. 2026—2030.
- [4] Conflant P., Boivin J.-C., Thomas D. // J. Sol. State Chem. 1976. V. 18. N 2. P. 133—140.
- [5] Guillermo R., Conflant P., Boivin J.-C., Thomas D. // Revue de Chimie minérale. 1978. Т. 15. N 2. P. 153—159.
- [6] Conflant P., Boivin J.-C., Thomas D. // J. Sol. State Chem. 1980. V. 35. N 2. P. 192—199.
- [7] Glover S. K., Greaves C. // Mat. Res. Bull. 1988. V. 23. N 5. P. 765—772.
- [8] Lee C. L. // J. Mat. Res. 1990. V. 5. N 7. P. 1403—1408.
- [9] Ногун R., Halow I. F., Zlaja J., Wolcyrz M. // Supercond. Sci. Technol. 1990. V. 3. P. 347—355.
- [10] Слободин Б. В., Фотиев А. А., Пахомова Н. А. // Журн. неорг. химии. 1991. Т. 36. № 2. С. 510—512.

- [11] Эварестов Р. А., Смирнов В. П. Методы теории групп в квантовой химии твердого тела. Л.: Изд-во ЛГУ, 1987. 375 с.
- [12] Ковалев О. В. Неприводимые и индуцированные представления и конрезультаты пространственных групп. М.: Наука, 1986. 368 с.
- [13] Rousseau D. L., Bauman R. P., Porto S. P. S. // J. Raman Spectrosc. 1981. V. 10. P. 253—290.
- [14] International Tables for Crystallography / Ed. T. Hahn. V. A. Space Group Symmetry. Dordrecht—Boston: D. Reidel Publ. Co., 1983. 854 p.
- [15] Bradley C. J., Cracknell A. P. The mathematical theory of symmetry in solids. Oxford University Press, 1972. 745 p.
- [16] Miller S. C., Love W. F. Tables of irreducible representations and corepresentations of magnetic space groups. Boulder (Colorado): Pruett Press, 1967. 1095 p.
- [17] Дурчок С., Лимонов М. Ф., Марков Ю. Ф., Неврива М., Поллерт Э., Триска А. // ФТТ. 1989. Т. 31. № 7. С. 282—285.
- [18] Буш А. А., Гладышев В. И., Голуб А. А., Лимонов М. Ф., Марков Ю. Ф., Маштаков О. Ю., Мировицкий В. Ю., Панфилов А. Г. // СФХТ. 1989. Т. 2. № 9. С. 104—113.

Физико-технический институт  
им. А. Ф. Иоффе РАН  
Санкт-Петербург

Поступило в Редакцию  
16 июля 1991 г.